

TBM 導坑による入山断層破碎帯粘土の力学特性調査

日本道路公団静岡建設局富士工事事務所
日本道路公団静岡建設局富士工事事務所
清水・熊谷・竹中土木共同企業体

天野 淨行
佐藤 淳
正会員 水戸 聰

1. はじめに

富士川トンネルは、第二東名高速道路の富士 IC～清水 IC 間に位置し、上り線延長 4,520m、下り線延長 4,434m の長大トンネルであり、TBM 導坑先進拡幅掘削工法が採用されている。現在、下り線 $\phi 5.0\text{m}$ TBM は、入山断層破碎帯を無事通過し、坑口から約 2,400m 位置を掘進中である。この断層破碎帯粘土部の TBM 掘削では、計測工と岩盤岩石試験などを実施した。その結果、地山強度比は 0.3～0.7 の軟質で、押出し性を有する特殊地山であることと、この大変形挙動が簡単な力学モデルで計算できることが分かったので報告する。

2. 入山断層破碎帯概要

入山断層破碎帯粘土は、本坑下り線内の TBM 発進坑口より 1,465m 位置の STA. 1027+00 付近より出現し、延長約 100m におよぶ。ここでの地質は、軟質、脆弱で緑色の鏡肌をなし、ディスクカッタ刃先は地山にめり込み、カッターリング間は剥がれ落ちる。掘削ずりは粉体状となる。岩石試料での一軸圧縮強度は、 $0.07\sim1.87\text{N/mm}^2$ である。土被り厚は約 250～300m である。

3. TBM 掘進状況

ダブルシールドタイプ TBM を使用した。ここで TBM 掘進は、カッターヘッド回転速度を $0.5\sim1.0\text{rpm}$ とし、スラストジャッキ推進とした。後胴の盛替は、シールドジャッキとの同調盛替とした。支保構造は、シールドジャッキ推進反力が取れる鋼製ラブとし、外径 $\phi 4,700\text{mm}$ 、主軸高 150mm、ラブ幅 1.0m で、4 種 6 ピースに分割した。鋼製ラブは、機内後胴部でエレクタを用いて組立て、ピース間はボルトで固定する。この他に、6cm のオーバーカッティングとカッターヘッドチャンバ内からの注入式フォアボーリングを毎切羽打設した。切羽湧水はない。

4. TBM 導坑の挙動特性

TBM 後続台車最後部が STA. 1029+00 を通過した時点での鋼製ラブ SL 部内空変位と天端沈下の測定値は、換算一軸圧縮強度とともに、図-1 に示す。小型ひずみ計による鋼製ラブ応力と鋼製ラブ背面土圧は、1 回/hr の頻度で、STA. 1027+35.5 と STA. 1027+80 の 2 断面で自動計測した。その結果より、次のことが分かる。

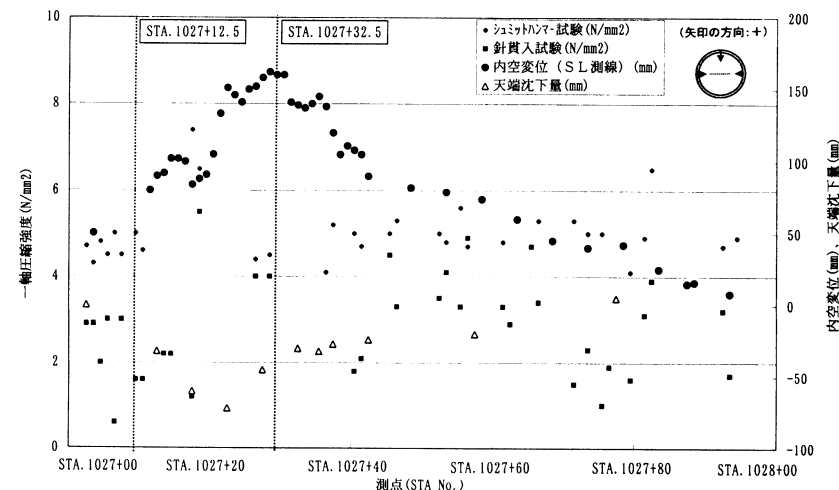


図-1 内空変位・天端沈下と換算一軸圧縮強度

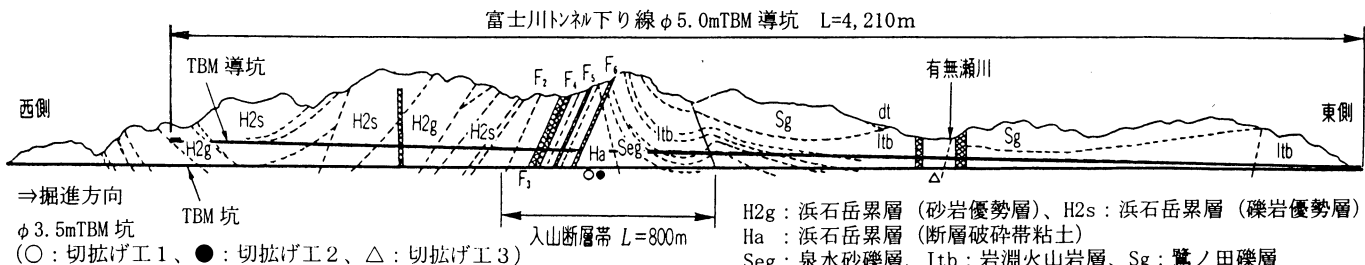


図-2 地質縦断図

キーワード：TBM 工法、入山断層帶、断層破碎帯粘土、押出し性、力学モデル

連絡先：第二東名高速道路富士川トンネル西（その2）工事共同企業体 Tel.0544-65-0810、Fax.0544-65-0885

①鋼製ラブ内空表面での内空変位最大値は、STA. 1027+30付近に発生し、約160mmである。鋼製ラブ背面のクリアランスは220mmであることから、掘削面は最大約 $220+160/2=300\text{mm}$ 内空側に変位する。半径方向ひずみに換算すると、 $\epsilon_r=(300/5, 140/2)$ より約3%の伸びひずみを受ける。

②後胴盛替時にTBM後胴部スキンプレートは地山に接していたことなどから、初期変位速度は、 $(5, 140-4, 850)/2=145\text{mm/day}$ と推定できる。

③支保設置位置は切羽からトネル掘削径の約2倍の11.05m後方となる。この位置でのトネル変形挙動は、地山等級がCやD Iではほぼ収束するが、これ以降も $(4, 850-4, 700)/2+80=155\text{mm}$ 変位し、掘削影響域は深部に進展する。

④鋼製ラブ周方向軸力の最大値は天端部で発生し、鋼製ラブ設置後約10日間で230kNの圧縮力を受ける。その後も徐々に増加し40日経過後は280kNになる。鋼製ラブ背面土圧では、左SL部で、鋼製ラブ設置5日後に 0.06N/mm^2 になるがその後に 0.02N/mm^2 まで低下する。右SL部では、鋼製ラブ設置後徐々に増加し、40日後に 0.04N/mm^2 になる。

⑤鋼製ラブ設置位置は、切羽からトネル掘削径の約2倍後方となるので、掘削外力の応力再配分はほぼ完了したと推定できるが、鋼製ラブ周方向軸力、鋼製ラブ背面土圧は、時間経過とともに増加する。

5. 断層破碎帯粘土の力学特性

掘削外力は切羽周辺地山のせん断強度の範囲内での応力再配分とし、切羽周辺地山の変形特性を基本パラメータとする力学モデルを構築し、2D-FEMによるトネル掘削解析を実施した。この力学モデルにより、以下の知見を得た。

①掘削面の変位量が内空側に約300mm変位するための周辺地山の弾性係数は、約 30N/mm^2 以下と推定される。

②鋼製ラブ周方向軸力と背面土圧の解析

値は、計測値の約10倍高く計算される。これは、鋼製ラブはクリアランス内で先行挙動し、その後に鋼製ラブと周辺地山の相互作用によるトネル挙動となっており、このクリアランス内の鋼製ラブの挙動特性が高精度に解析できていないからである。この点を除けば、この力学モデルの特殊地山条件下でのトネル掘削解析への適用性は高い。

6. まとめ

入山断層破碎帶粘土では、地山強度比は0.3~0.7と低く、TBM導坑は大きく変位することから、押出し性地山であることが分かった。今後は、この特殊地山条件下での大断面トネルの設計を行なう予定である。

参考文献 1) 佐藤淳：入山断層破碎帶でのTBM導坑挙動特性、土木学会第56回年次学術講演会、第III部門、2001.

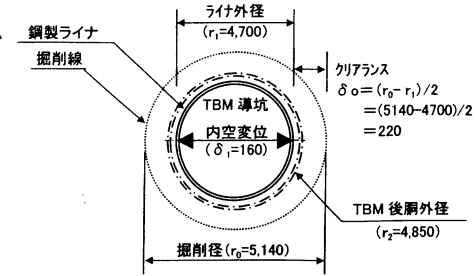


図-3 鋼製ラブ背面のクリアランス

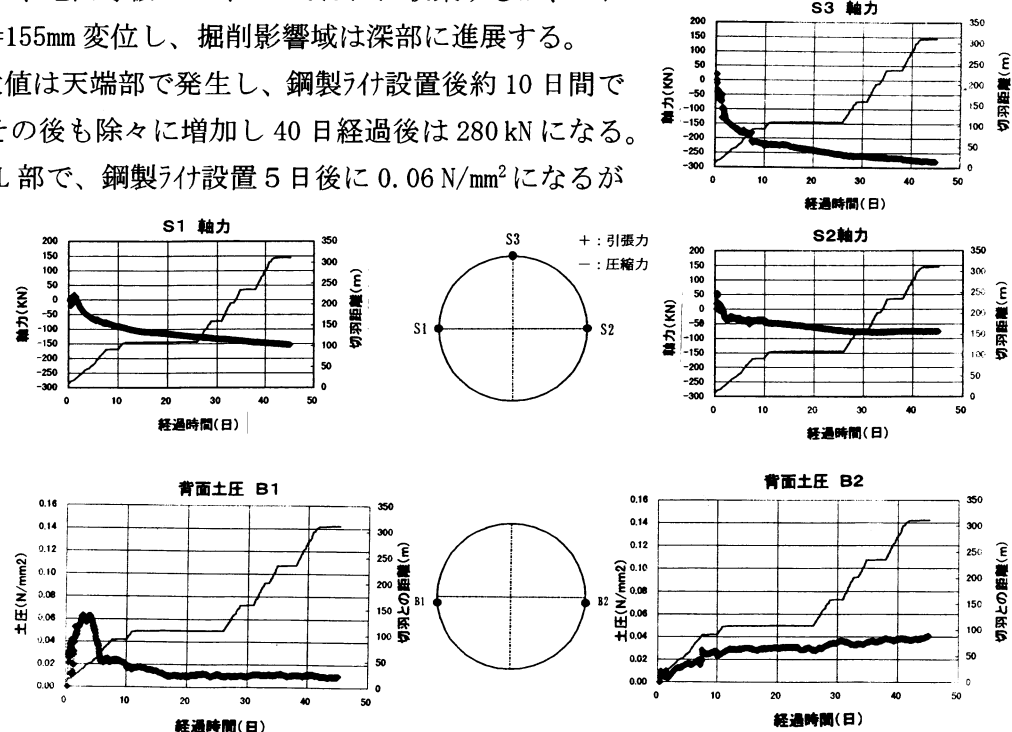


図-4 鋼製ラブ周方向軸力と背面土圧 (STA. 1027+80)

表-1 物性値一覧

(1)切羽に現れる断層破碎帯粘土の物性値	
・単位体積重量(γ_t)	23.5 kN/m ³
・弾性係数(E_f)	30.6 N/mm ²
・ポアソン比(ν_f)	0.45
・粘着力(c)	0.10 N/mm ²
・内部摩擦角(ϕ)	15.0 deg
(2)地山全体の変形特性(弾性域)	
・弾性係数($E=10E_f$)	306 N/mm ²
・ポアソン比(ν)	0.4
(3)側圧係数(k_0)	
1.0	
(4)応力解放率(先行変位)	
0.8	
(5)鋼製ラブ(ピーム要素)	
・弾性係数(E)	2.14×10^5 N/mm ²
・断面積(A)	40.50×10^{-4} m ²
・断面2次モーメント	909.0×10^{-8} m ⁴

表-2 解析値と計測値

変位量(mm)	解析値	計測値
δ_v (矢印の方向: +)	δ_v	193(80%) 201(100%) 150~220 (+クリアランス 220)
	δ_h	174(80%) 182(100%) 240~300 (+クリアランス 220)
鋼製ラブ周方向軸力 (kN/リグ)	解析値	計測値
N	-80~-270 (STA.1027+35.5)	-2,716 50~-120 (STA.1027+80.0)
(+ : 引張)		
背面土圧 (N/mm ²)	解析値	計測値
Pr	1.05	0.01~0.12 (STA.1027+35.5) 0.04~0.07 (STA.1027+80.0)